

# Realisierung eines Quantencomputers mit Ionen

Fabian Bach, Jan-Philip Gehrcke, Malte Lichtner

Julius-Maximilians-Universität Würzburg

8. Mai 2008

# Übersicht

- 1 Teil I - Grundlagen
  - Motivation Quantencomputer
  - Logische Operationen
  - Anforderungen bei experimenteller Realisierung
  - Die Idee von CIRAC und ZOLLER
  - grundlegende Komponenten
- 2 Teil II - Operationen auf dem System
  - Manipulation des Systems
  - Mathematische Beschreibung
  - CNOT-Gatter
- 3 Teil III - Experimente
  - Realisierung des cNOT-Gatters
  - Untersuchung von verschränkten Zuständen
  - Ausblick (Ionenfalle im Mikrochip)

# Übersicht

- 1 Teil I - Grundlagen
  - Motivation Quantencomputer
  - Logische Operationen
  - Anforderungen bei experimenteller Realisierung
  - Die Idee von CIRAC und ZOLLER
  - grundlegende Komponenten
- 2 Teil II - Operationen auf dem System
  - Manipulation des Systems
  - Mathematische Beschreibung
  - CNOT-Gatter
- 3 Teil III - Experimente
  - Realisierung des cNOT-Gatters
  - Untersuchung von verschränkten Zuständen
  - Ausblick (Ionenfalle im Mikrochip)

# Übersicht

- 1 Teil I - Grundlagen
  - Motivation Quantencomputer
  - Logische Operationen
  - Anforderungen bei experimenteller Realisierung
  - Die Idee von CIRAC und ZOLLER
  - grundlegende Komponenten
- 2 Teil II - Operationen auf dem System
  - Manipulation des Systems
  - Mathematische Beschreibung
  - CNOT-Gatter
- 3 Teil III - Experimente
  - Realisierung des cNOT-Gatters
  - Untersuchung von verschränkten Zuständen
  - Ausblick (Ionenfalle im Mikrochip)

# Übersicht

- 1 Teil I - Grundlagen
  - Motivation Quantencomputer
  - Logische Operationen
  - Anforderungen bei experimenteller Realisierung
  - Die Idee von CIRAC und ZOLLER
  - grundlegende Komponenten
- 2 Teil II - Operationen auf dem System
  - Manipulation des Systems
  - Mathematische Beschreibung
  - CNOT-Gatter
- 3 Teil III - Experimente
  - Realisierung des cNOT-Gatters
  - Untersuchung von verschränkten Zuständen
  - Ausblick (Ionenfalle im Mikrochip)

# Warum Quantencomputer?

Durch Superposition und Verschränkung von quantenmechanischen Zuständen können einige Probleme in der Informatik wesentlich effizienter gelöst werden, als mit klassischen Computern.

Warum ist das so?

# Warum Quantencomputer?

Durch Superposition und Verschränkung von quantenmechanischen Zuständen können einige Probleme in der Informatik wesentlich effizienter gelöst werden, als mit klassischen Computern.

Warum ist das so?

# Das Qubit

## Was ist ein Qubit?

- quantenmechanisches Zwei-Niveau-System
- Dirac-Notation  $|0\rangle$  und  $|1\rangle$

Zustand  $\Psi_{QB}$  des Qubits ist normierte Superposition mit komplexen Koeffizienten:

$$\Psi_{QB} = c_0 |0\rangle + c_1 |1\rangle$$



# Das Qubit

## Was ist ein Qubit?

- quantenmechanisches Zwei-Niveau-System
- Dirac-Notation  $|0\rangle$  und  $|1\rangle$

Zustand  $\Psi_{QB}$  des Qubits ist normierte Superposition mit komplexen Koeffizienten:

$$\Psi_{QB} = c_0 |0\rangle + c_1 |1\rangle$$

# Das Qubit

## Was ist ein Qubit?

- quantenmechanisches Zwei-Niveau-System
- Dirac-Notation  $|0\rangle$  und  $|1\rangle$

Zustand  $\Psi_{QB}$  des Qubits ist normierte Superposition mit komplexen Koeffizienten:

$$\Psi_{QB} = c_0 |0\rangle + c_1 |1\rangle$$

# Das Qubit

## Was ist ein Qubit?

- quantenmechanisches Zwei-Niveau-System
- Dirac-Notation  $|0\rangle$  und  $|1\rangle$

Zustand  $\Psi_{QB}$  des Qubits ist normierte Superposition mit komplexen Koeffizienten:

$$\Psi_{QB} = c_0 |0\rangle + c_1 |1\rangle$$

# Das Qubit

## Was ist ein Qubit?

- quantenmechanisches Zwei-Niveau-System
- Dirac-Notation  $|0\rangle$  und  $|1\rangle$

Zustand  $\Psi_{QB}$  des Qubits ist normierte Superposition mit komplexen Koeffizienten:

$$\Psi_{QB} = c_0 |0\rangle + c_1 |1\rangle$$

# Quantenregister

## Basis des Zustandsraums eines Quantenregisters aus zwei Qubits

- Produktbasis aus den einzelnen Qubit-Basen bilden:  
 $|0\rangle \otimes |0\rangle = |00\rangle, \dots, |1\rangle \otimes |1\rangle = |11\rangle$
- Es ergibt sich also als Zustandsraumbasis  $|00\rangle, |01\rangle, |10\rangle, |11\rangle$

Es gilt analog zum Q-Bit:

Der Zustand des Quantenregisters ist wiederum eine Superposition dieser Basiszustände mit komplexen Koeffizienten.

Daraus folgt:

Der Zustand  $\Psi_{QR}$  eines  $N$ -Qubit-Quantenregisters entstammt einem  $2^N$ -dimensionalen komplexwertigen Zustandsraum.

# Quantenregister

## Basis des Zustandsraums eines Quantenregisters aus zwei Qubits

- Produktbasis aus den einzelnen Qubit-Basen bilden:

$$|0\rangle \otimes |0\rangle = |00\rangle, \dots, |1\rangle \otimes |1\rangle = |11\rangle$$

- Es ergibt sich also als Zustandsraumbasis  $|00\rangle, |01\rangle, |10\rangle, |11\rangle$

Es gilt analog zum Q-Bit:

Der Zustand des Quantenregisters ist wiederum eine Superposition dieser Basiszustände mit komplexen Koeffizienten.

Daraus folgt:

Der Zustand  $\Psi_{QR}$  eines  $N$ -Qubit-Quantenregisters entstammt einem  $2^N$ -dimensionalen komplexwertigen Zustandsraum.

# Quantenregister

## Basis des Zustandsraums eines Quantenregisters aus zwei Qubits

- Produktbasis aus den einzelnen Qubit-Basen bilden:  
 $|0\rangle \otimes |0\rangle = |00\rangle, \dots, |1\rangle \otimes |1\rangle = |11\rangle$
- Es ergibt sich also als Zustandsraumbasis  $|00\rangle, |01\rangle, |10\rangle, |11\rangle$

## Es gilt analog zum Q-Bit:

Der Zustand des Quantenregisters ist wiederum eine Superposition dieser Basiszustände mit komplexen Koeffizienten.

## Daraus folgt:

Der Zustand  $\Psi_{QR}$  eines  $N$ -Qubit-Quantenregisters entstammt einem  $2^N$ -dimensionalen komplexwertigen Zustandsraum.

# Quantenregister

## Basis des Zustandsraums eines Quantenregisters aus zwei Qubits

- Produktbasis aus den einzelnen Qubit-Basen bilden:  
 $|0\rangle \otimes |0\rangle = |00\rangle, \dots, |1\rangle \otimes |1\rangle = |11\rangle$
- Es ergibt sich also als Zustandsraumbasis  $|00\rangle, |01\rangle, |10\rangle, |11\rangle$

## Es gilt analog zum Q-Bit:

Der Zustand des Quantenregisters ist wiederum eine Superposition dieser Basiszustände mit komplexen Koeffizienten.

## Daraus folgt:

Der Zustand  $\Psi_{QR}$  eines  $N$ -Qubit-Quantenregisters entstammt einem  $2^N$ -dimensionalen komplexwertigen Zustandsraum.



# Quantenregister

## Basis des Zustandsraums eines Quantenregisters aus zwei Qubits

- Produktbasis aus den einzelnen Qubit-Basen bilden:  
 $|0\rangle \otimes |0\rangle = |00\rangle, \dots, |1\rangle \otimes |1\rangle = |11\rangle$
- Es ergibt sich also als Zustandsraumbasis  $|00\rangle, |01\rangle, |10\rangle, |11\rangle$

## Es gilt analog zum Q-Bit:

Der Zustand des Quantenregisters ist wiederum eine Superposition dieser Basiszustände mit komplexen Koeffizienten.

## Daraus folgt:

Der Zustand  $\Psi_{QR}$  eines  $N$ -Qubit-Quantenregisters entstammt einem  $2^N$ -dimensionalen komplexwertigen Zustandsraum.

# Quantenregister $\Leftrightarrow$ klassisches Register

klassischer Computer mit  $N$ -Bit-Register

Registerzustand ist einer von  $2^N$  Elementen des Zustandsraums.

Quantencomputer mit  $N$ -Qubit-Register

Registerzustand  $\Psi_{QR}$  ist ein (normierter) Vektor aus  $\mathbb{C}^{2^N}$ :

$$\Psi_{QR} = \sum_{b=0}^{2^N-1} c_b |b\rangle$$

Das Superpositionsprinzip beim Quantenregister ermöglicht daher eine gewisse „Parallelität in Rechnungen“ durch „gleichzeitiges“ Rechnen aller  $2^N$  klassischen Registerzustände.

# Quantenregister $\Leftrightarrow$ klassisches Register

## klassischer Computer mit $N$ -Bit-Register

Registerzustand ist einer von  $2^N$  Elementen des Zustandsraums.

## Quantencomputer mit $N$ -Qubit-Register

Registerzustand  $\Psi_{QR}$  ist ein (normierter) Vektor aus  $\mathbb{C}^{2^N}$ :

$$\Psi_{QR} = \sum_{b=0}^{2^N-1} c_b |b\rangle$$

Das Superpositionsprinzip beim Quantenregister ermöglicht daher eine gewisse „Parallelität in Rechnungen“ durch „gleichzeitiges“ Rechnen aller  $2^N$  klassischen Registerzustände.

# Quantenregister $\Leftrightarrow$ klassisches Register

## klassischer Computer mit $N$ -Bit-Register

Registerzustand ist einer von  $2^N$  Elementen des Zustandsraums.

## Quantencomputer mit $N$ -Qubit-Register

Registerzustand  $\Psi_{QR}$  ist ein (normierter) Vektor aus  $\mathbb{C}^{2^N}$ :

$$\Psi_{QR} = \sum_{b=0}^{2^N-1} c_b |b\rangle$$

Das Superpositionsprinzip beim Quantenregister ermöglicht daher eine gewisse „Parallelität in Rechnungen“ durch „gleichzeitiges“ Rechnen aller  $2^N$  klassischen Registerzustände.

## verschränkte Zustände

Für das Quantencomputing sind insbesondere die verschränkten Zustände eines Quantenregisters von Bedeutung.

Beispiel:

$$\Psi_{QR} = \frac{1}{\sqrt{2}} (|00\rangle + |11\rangle)$$

Registerzustand nicht in Teilsystem-Zustände faktorisiert. Misst man hier ein Qubit aus, so ist der Zustand des anderen festgelegt.

Durch verschränkte Zustände kann eine maximale Korrelation zwischen Qubits eines Quantenregisters geschaffen werden. Diese Bit-Korrelationen erlauben die Realisierung von logischen Operationen.

## verschränkte Zustände

Für das Quantencomputing sind insbesondere die verschränkten Zustände eines Quantenregisters von Bedeutung.

Beispiel:

$$\Psi_{QR} = \frac{1}{\sqrt{2}} (|00\rangle + |11\rangle)$$

Registerzustand nicht in Teilsystem-Zustände faktorisiert. Misst man hier ein Qubit aus, so ist der Zustand des anderen festgelegt.

Durch verschränkte Zustände kann eine maximale Korrelation zwischen Qubits eines Quantenregisters geschaffen werden. Diese Bit-Korrelationen erlauben die Realisierung von logischen Operationen.

## verschränkte Zustände

Für das Quantencomputing sind insbesondere die verschränkten Zustände eines Quantenregisters von Bedeutung.

Beispiel:

$$\Psi_{QR} = \frac{1}{\sqrt{2}} (|00\rangle + |11\rangle)$$

Registerzustand nicht in Teilsystem-Zustände faktorisiert. Misst man hier ein Qubit aus, so ist der Zustand des anderen festgelegt.

Durch verschränkte Zustände kann eine maximale Korrelation zwischen Qubits eines Quantenregisters geschaffen werden. Diese Bit-Korrelationen erlauben die Realisierung von logischen Operationen.

# Quantencomputer-Algorithmen

Quantencomputer-Algorithmen sorgen bei speziellen Aufgaben für einen exponentiellen Geschwindigkeitsgewinn gegenüber klassischen Rechnern. Somit werden bestimmte Probleme überhaupt erst in endlicher Zeit lösbar.

verschiedene Arten von Algorithmen:

- Quanten-Fouriertransformation (Shor,...)
- Quanten-Suchalgorithmen (Suche in unsortierter Datenbank,...)
- Quanten-Simulation (Schrödingergleichung, unitäre Evolution)



# Quantencomputer-Algorithmen

Quantencomputer-Algorithmen sorgen bei speziellen Aufgaben für einen exponentiellen Geschwindigkeitsgewinn gegenüber klassischen Rechnern. Somit werden bestimmte Probleme überhaupt erst in endlicher Zeit lösbar.

## verschiedene Arten von Algorithmen:

- Quanten-Fouriertransformation (Shor,...)
- Quanten-Suchalgorithmen (Suche in unsortierter Datenbank,...)
- Quanten-Simulation (Schrödingergleichung, unitäre Evolution)

# Quantencomputer-Algorithmen

Quantencomputer-Algorithmen sorgen bei speziellen Aufgaben für einen exponentiellen Geschwindigkeitsgewinn gegenüber klassischen Rechnern. Somit werden bestimmte Probleme überhaupt erst in endlicher Zeit lösbar.

verschiedene Arten von Algorithmen:

- Quanten-Fouriertransformation (Shor,...)
- Quanten-Suchalgorithmen (Suche in unsortierter Datenbank,...)
- Quanten-Simulation (Schrödingergleichung, unitäre Evolution)

# Quantencomputer-Algorithmen

Quantencomputer-Algorithmen sorgen bei speziellen Aufgaben für einen exponentiellen Geschwindigkeitsgewinn gegenüber klassischen Rechnern. Somit werden bestimmte Probleme überhaupt erst in endlicher Zeit lösbar.

verschiedene Arten von Algorithmen:

- Quanten-Fouriertransformation (Shor,...)
- Quanten-Suchalgorithmen (Suche in unsortierter Datenbank,...)
- Quanten-Simulation (Schrödingergleichung, unitäre Evolution)

# Quantencomputer-Algorithmen

Quantencomputer-Algorithmen sorgen bei speziellen Aufgaben für einen exponentiellen Geschwindigkeitsgewinn gegenüber klassischen Rechnern. Somit werden bestimmte Probleme überhaupt erst in endlicher Zeit lösbar.

verschiedene Arten von Algorithmen:

- Quanten-Fouriertransformation (Shor,...)
- Quanten-Suchalgorithmen (Suche in unsortierter Datenbank,...)
- Quanten-Simulation (Schrödingergleichung, unitäre Evolution)

# Übersicht

- 1 Teil I - Grundlagen
  - Motivation Quantencomputer
  - **Logische Operationen**
  - Anforderungen bei experimenteller Realisierung
  - Die Idee von CIRAC und ZOLLER
  - grundlegende Komponenten
- 2 Teil II - Operationen auf dem System
  - Manipulation des Systems
  - Mathematische Beschreibung
  - CNOT-Gatter
- 3 Teil III - Experimente
  - Realisierung des cNOT-Gatters
  - Untersuchung von verschränkten Zuständen
  - Ausblick (Ionenfalle im Mikrochip)

# Zerlegung von logischen Operationen

**Jede** komplexe logische Operation kann man zerlegen in:

- XOR (klassisch)  $\Rightarrow$  cNOT-Verknüpfung/Gatter zwischen zwei Qubits
- NOT (klassisch)  $\Rightarrow$  Rotationen einzelner Qubits (auf Blochsphäre)

Daraus folgt:

Mit experimentellen Realisierungen von „Qubit-Rotation“ und „cNOT-Gate zwischen zwei Qubits“ kann man prinzipiell einen Quantenrechner konstruieren.

# Zerlegung von logischen Operationen

**Jede** komplexe logische Operation kann man zerlegen in:

- XOR (klassisch)  $\Rightarrow$  cNOT-Verknüpfung/Gatter zwischen zwei Qubits
- NOT (klassisch)  $\Rightarrow$  Rotationen einzelner Qubits (auf Blochsphäre)

Daraus folgt:

Mit experimentellen Realisierungen von „Qubit-Rotation“ und „cNOT-Gate zwischen zwei Qubits“ kann man prinzipiell einen Quantenrechner konstruieren.

# Zerlegung von logischen Operationen

**Jede** komplexe logische Operation kann man zerlegen in:

- XOR (klassisch)  $\Rightarrow$  cNOT-Verknüpfung/Gatter zwischen zwei Qubits
- NOT (klassisch)  $\Rightarrow$  Rotationen einzelner Qubits (auf Blochsphäre)

Daraus folgt:

Mit experimentellen Realisierungen von „Qubit-Rotation“ und „cNOT-Gate zwischen zwei Qubits“ kann man prinzipiell einen Quantenrechner konstruieren.



# Zerlegung von logischen Operationen

**Jede** komplexe logische Operation kann man zerlegen in:

- XOR (klassisch)  $\Rightarrow$  cNOT-Verknüpfung/Gatter zwischen zwei Qubits
- NOT (klassisch)  $\Rightarrow$  Rotationen einzelner Qubits (auf Blochsphäre)

**Daraus folgt:**

Mit experimentellen Realisierungen von „Qubit-Rotation“ und „cNOT-Gate zwischen zwei Qubits“ kann man prinzipiell einen Quantenrechner konstruieren.

# Die controlled-NOT Verknüpfung

formale Definition:

$$\hat{C}_{12} : |\epsilon_1\rangle |\epsilon_2\rangle \rightarrow |\epsilon_1\rangle |\epsilon_1 \oplus \epsilon_2\rangle \text{ mit } \oplus: \text{Addition modulo 2}$$

die cNOT-Verknüpfung entspricht also der klassischen XOR-Verknüpfung

# Die controlled-NOT Verknüpfung

formale Definition:

$$\hat{C}_{12} : |\epsilon_1\rangle |\epsilon_2\rangle \rightarrow |\epsilon_1\rangle |\epsilon_1 \oplus \epsilon_2\rangle \text{ mit } \oplus: \text{Addition modulo 2}$$

$$|0\rangle|0\rangle \rightarrow |0\rangle|0\rangle$$

$$|0\rangle|1\rangle \rightarrow |0\rangle|1\rangle$$

$$|1\rangle|0\rangle \rightarrow |1\rangle|1\rangle$$

$$|1\rangle|1\rangle \rightarrow |1\rangle|0\rangle$$

control bit

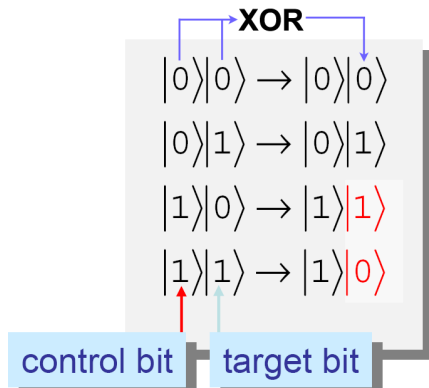
target bit

die cNOT-Verknüpfung entspricht also der klassischen XOR-Verknüpfung

# Die controlled-NOT Verknüpfung

formale Definition:

$$\hat{C}_{12} : |\epsilon_1\rangle |\epsilon_2\rangle \rightarrow |\epsilon_1\rangle |\epsilon_1 \oplus \epsilon_2\rangle \text{ mit } \oplus: \text{Addition modulo 2}$$

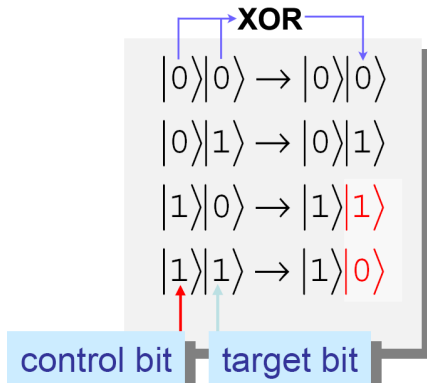


die cNOT-Verknüpfung entspricht also der klassischen XOR-Verknüpfung

# Die controlled-NOT Verknüpfung

formale Definition:

$$\hat{C}_{12} : |\epsilon_1\rangle |\epsilon_2\rangle \rightarrow |\epsilon_1\rangle |\epsilon_1 \oplus \epsilon_2\rangle \text{ mit } \oplus: \text{Addition modulo 2}$$



die cNOT-Verknüpfung entspricht also der klassischen XOR-Verknüpfung

# Übersicht

- 1 Teil I - Grundlagen
  - Motivation Quantencomputer
  - Logische Operationen
  - Anforderungen bei experimenteller Realisierung
  - Die Idee von CIRAC und ZOLLER
  - grundlegende Komponenten
- 2 Teil II - Operationen auf dem System
  - Manipulation des Systems
  - Mathematische Beschreibung
  - CNOT-Gatter
- 3 Teil III - Experimente
  - Realisierung des cNOT-Gatters
  - Untersuchung von verschränkten Zuständen
  - Ausblick (Ionenfalle im Mikrochip)

## Diese Bedingungen sollten erfüllt sein

### Man benötigt...

- ein(mehrere) Qubit(s)
- die Möglichkeit alle Qubits zu initialisieren
- eine exp. Realisierung Rotation einzelner Qubits
- eine exp. Realisierung des cNOT-Gatters (durch Qubit-Kopplung)
- lange Kohärenzzeiten (länger als die „Rechenzeit“)
- die Möglichkeit einzelne Qubits zu messen (Ergebnisabfrage)
- ein skalierbares System (also prinzipiell beliebig erweiterbar)

## Diese Bedingungen sollten erfüllt sein

### Man benötigt...

- ein(mehrere) Qubit(s)
- die Möglichkeit alle Qubits zu initialisieren
- eine exp. Realisierung Rotation einzelner Qubits
- eine exp. Realisierung des cNOT-Gatters (durch Qubit-Kopplung)
- lange Kohärenzzeiten (länger als die „Rechenzeit“)
- die Möglichkeit einzelne Qubits zu messen (Ergebnisabfrage)
- ein skalierbares System (also prinzipiell beliebig erweiterbar)



## Diese Bedingungen sollten erfüllt sein

### Man benötigt...

- ein(mehrere) Qubit(s)
- die Möglichkeit alle Qubits zu initialisieren
- eine exp. Realisierung Rotation einzelner Qubits
- eine exp. Realisierung des cNOT-Gatters (durch Qubit-Kopplung)
- lange Kohärenzzeiten (länger als die „Rechenzeit“)
- die Möglichkeit einzelne Qubits zu messen (Ergebnisabfrage)
- ein skalierbares System (also prinzipiell beliebig erweiterbar)

## Diese Bedingungen sollten erfüllt sein

### Man benötigt...

- ein(mehrere) Qubit(s)
- die Möglichkeit alle Qubits zu initialisieren
- eine exp. Realisierung Rotation einzelner Qubits
- eine exp. Realisierung des cNOT-Gatters (durch Qubit-Kopplung)
- lange Kohärenzzeiten (länger als die „Rechenzeit“)
- die Möglichkeit einzelne Qubits zu messen (Ergebnisabfrage)
- ein skalierbares System (also prinzipiell beliebig erweiterbar)

## Diese Bedingungen sollten erfüllt sein

### Man benötigt...

- ein(mehrere) Qubit(s)
- die Möglichkeit alle Qubits zu initialisieren
- eine exp. Realisierung Rotation einzelner Qubits
- eine exp. Realisierung des cNOT-Gatters (durch Qubit-Kopplung)
- lange Kohärenzzeiten (länger als die „Rechenzeit“)
- die Möglichkeit einzelne Qubits zu messen (Ergebnisabfrage)
- ein skalierbares System (also prinzipiell beliebig erweiterbar)

## Diese Bedingungen sollten erfüllt sein

### Man benötigt...

- ein(mehrere) Qubit(s)
- die Möglichkeit alle Qubits zu initialisieren
- eine exp. Realisierung Rotation einzelner Qubits
- eine exp. Realisierung des cNOT-Gatters (durch Qubit-Kopplung)
- lange Kohärenzzeiten (länger als die „Rechenzeit“)
- die Möglichkeit einzelne Qubits zu messen (Ergebnisabfrage)
- ein skalierbares System (also prinzipiell beliebig erweiterbar)

## Diese Bedingungen sollten erfüllt sein

### Man benötigt...

- ein(mehrere) Qubit(s)
- die Möglichkeit alle Qubits zu initialisieren
- eine exp. Realisierung Rotation einzelner Qubits
- eine exp. Realisierung des cNOT-Gatters (durch Qubit-Kopplung)
- lange Kohärenzzeiten (länger als die „Rechenzeit“)
- die Möglichkeit einzelne Qubits zu messen (Ergebnisabfrage)
- ein skalierbares System (also prinzipiell beliebig erweiterbar)

## Diese Bedingungen sollten erfüllt sein

### Man benötigt...

- ein(mehrere) Qubit(s)
- die Möglichkeit alle Qubits zu initialisieren
- eine exp. Realisierung Rotation einzelner Qubits
- eine exp. Realisierung des cNOT-Gatters (durch Qubit-Kopplung)
- lange Kohärenzzeiten (länger als die „Rechenzeit“)
- die Möglichkeit einzelne Qubits zu messen (Ergebnisabfrage)
- ein skalierbares System (also prinzipiell beliebig erweiterbar)

# Es gibt verschiedene Ansätze

überwiegend theor. Konzept; Realisierungen auf kleinem Maßstab erfolgt:

... zum Beispiel mit Kernspinresonanz (2001: Shors Algorithmus auf 7-Qubit-Quantencomputer  $\Rightarrow 15 = 3 \cdot 5$ ) - aber: **nicht skalierbar**

# Übersicht

- 1 Teil I - Grundlagen
  - Motivation Quantencomputer
  - Logische Operationen
  - Anforderungen bei experimenteller Realisierung
  - Die Idee von CIRAC und ZOLLER
  - grundlegende Komponenten
- 2 Teil II - Operationen auf dem System
  - Manipulation des Systems
  - Mathematische Beschreibung
  - CNOT-Gatter
- 3 Teil III - Experimente
  - Realisierung des cNOT-Gatters
  - Untersuchung von verschränkten Zuständen
  - Ausblick (Ionenfalle im Mikrochip)



# Ionen-Idee: grundsätzliches Prinzip (publiziert 1995)

## Quantum Computations with Cold Trapped Ions (CIRAC and ZOLLER, Phys. Rev. Lett., 1995)

- Ionen werden in einer PAUL-Falle im UHV „gefangen“ und gekühlt
- ein Ion  $\hat{=}$  ein Qubit (metastab. elektr. Übergang)
- Ionen werden mit Laserlicht manipuliert
- Ionen sind untereinander durch Phononen gekoppelt

# Ionen-Idee: grundsätzliches Prinzip (publiziert 1995)

## Quantum Computations with Cold Trapped Ions (CIRAC and ZOLLER, Phys. Rev. Lett., 1995)

- Ionen werden in einer PAUL-Falle im UHV „gefangen“ und gekühlt
- ein Ion  $\hat{=}$  ein Qubit (metastab. elektr. Übergang)
- Ionen werden mit Laserlicht manipuliert
- Ionen sind untereinander durch Phononen gekoppelt

# Ionen-Idee: grundsätzliches Prinzip (publiziert 1995)

## Quantum Computations with Cold Trapped Ions (CIRAC and ZOLLER, Phys. Rev. Lett., 1995)

- Ionen werden in einer PAUL-Falle im UHV „gefangen“ und gekühlt
- ein Ion  $\hat{=}$  ein Qubit (metastab. elektr. Übergang)
- Ionen werden mit Laserlicht manipuliert
- Ionen sind untereinander durch Phononen gekoppelt

# Ionen-Idee: grundsätzliches Prinzip (publiziert 1995)

## Quantum Computations with Cold Trapped Ions (CIRAC and ZOLLER, Phys. Rev. Lett., 1995)

- Ionen werden in einer PAUL-Falle im UHV „gefangen“ und gekühlt
- ein Ion  $\hat{=}$  ein Qubit (metastab. elektr. Übergang)
- Ionen werden mit Laserlicht manipuliert
- Ionen sind untereinander durch Phononen gekoppelt

# Ionen-Idee: grundsätzliches Prinzip (publiziert 1995)

## Quantum Computations with Cold Trapped Ions (CIRAC and ZOLLER, Phys. Rev. Lett., 1995)

- Ionen werden in einer PAUL-Falle im UHV „gefangen“ und gekühlt
- ein Ion  $\hat{=}$  ein Qubit (metastab. elektr. Übergang)
- Ionen werden mit Laserlicht manipuliert
- Ionen sind untereinander durch Phononen gekoppelt

## theoretische Vorteile des Konzepts

- Dekohärenz vernachlässigbar klein (optische Kommunikation, UHV, Kühlung)
- durch Ion-Ion-Kopplung können Qubit-Gatter realisiert werden
- Messungen können mit hoher Effizienz durchgeführt werden
- skalierbar

## theoretische Vorteile des Konzepts

- Dekohärenz vernachlässigbar klein (optische Kommunikation, UHV, Kühlung)
- durch Ion-Ion-Kopplung können Qubit-Gatter realisiert werden
- Messungen können mit hoher Effizienz durchgeführt werden
- skalierbar

## theoretische Vorteile des Konzepts

- Dekohärenz vernachlässigbar klein (optische Kommunikation, UHV, Kühlung)
- durch Ion-Ion-Kopplung können Qubit-Gatter realisiert werden
- Messungen können mit hoher Effizienz durchgeführt werden
- skalierbar



## theoretische Vorteile des Konzepts

- Dekohärenz vernachlässigbar klein (optische Kommunikation, UHV, Kühlung)
- durch Ion-Ion-Kopplung können Qubit-Gatter realisiert werden
- Messungen können mit hoher Effizienz durchgeführt werden
- skalierbar

## theoretische Vorteile des Konzepts

- Dekohärenz vernachlässigbar klein (optische Kommunikation, UHV, Kühlung)
- durch Ion-Ion-Kopplung können Qubit-Gatter realisiert werden
- Messungen können mit hoher Effizienz durchgeführt werden
- skalierbar

# Übersicht

- 1 Teil I - Grundlagen
  - Motivation Quantencomputer
  - Logische Operationen
  - Anforderungen bei experimenteller Realisierung
  - Die Idee von CIRAC und ZOLLER
  - grundlegende Komponenten
- 2 Teil II - Operationen auf dem System
  - Manipulation des Systems
  - Mathematische Beschreibung
  - CNOT-Gatter
- 3 Teil III - Experimente
  - Realisierung des cNOT-Gatters
  - Untersuchung von verschränkten Zuständen
  - Ausblick (Ionenfalle im Mikrochip)

# Ionenfalle (PAUL-Falle)

## EARNSHAW-Theorem:

„Statische Felder können eine Ladung nicht stabil einfangen.“

## Lösung mit PAUL-Falle :

- ursprüngliche Version (Nobelpreis 1989 an WOLFGANG PAUL)
- Erweiterung zur linearen Version

# Ionenfalle (PAUL-Falle)

## EARNSHAW-Theorem:

„Statische Felder können eine Ladung nicht stabil einfangen.“

## Lösung mit PAUL-Falle :

- ursprüngliche Version (Nobelpreis 1989 an WOLFGANG PAUL)
- Erweiterung zur linearen Version

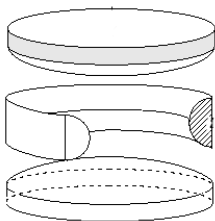
# Ionenfalle (PAUL-Falle)

## EARNSHAW-Theorem:

„Statische Felder können eine Ladung nicht stabil einfangen.“

## Lösung mit PAUL-Falle :

- ursprüngliche Version (Nobelpreis 1989 an WOLFGANG PAUL)
- Erweiterung zur linearen Version



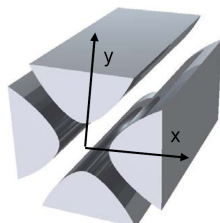
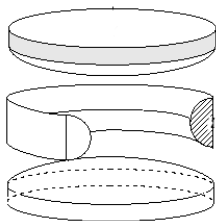
# Ionenfalle (PAUL-Falle)

## EARNSHAW-Theorem:

„Statische Felder können eine Ladung nicht stabil einfangen.“

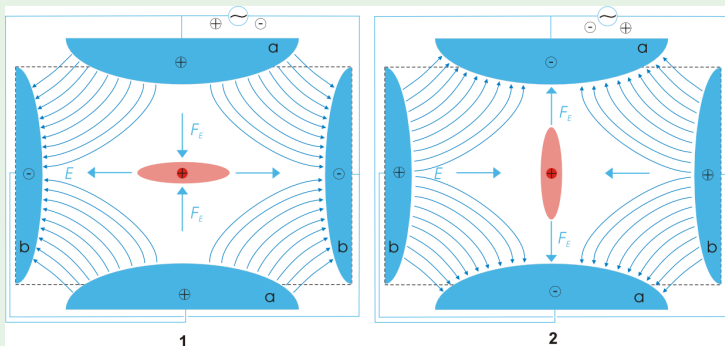
## Lösung mit PAUL-Falle :

- ursprüngliche Version (Nobelpreis 1989 an WOLFGANG PAUL)
- Erweiterung zur linearen Version



# Quadrupol-Wechselfeld

Oszillierendes Wechselfeld erzeugt „Pseudopotential“. Querschnitt:



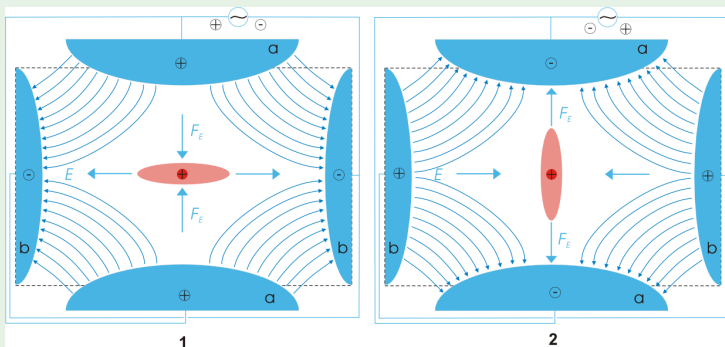
Für die lineare PAUL-Falle gilt:

- es gibt eine ( $z$ -) Achse für die das „Pseudopotential“ minimal ist
- radiale Schwingungsmoden ( $\omega_{x,y}$ ) existieren mit geringer Amplitude



# Quadrupol-Wechselfeld

Oszillierendes Wechselfeld erzeugt „Pseudopotential“. Querschnitt:

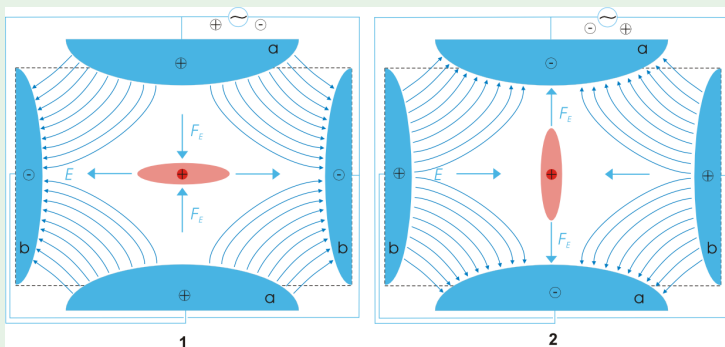


Für die lineare PAUL-Falle gilt:

- es gibt eine ( $z$ -) Achse für die das „Pseudopotential“ minimal ist
- radiale Schwingungsmoden ( $\omega_{x,y}$ ) existieren mit geringer Amplitude

# Quadrupol-Wechselfeld

Oszillierendes Wechselfeld erzeugt „Pseudopotential“. Querschnitt:

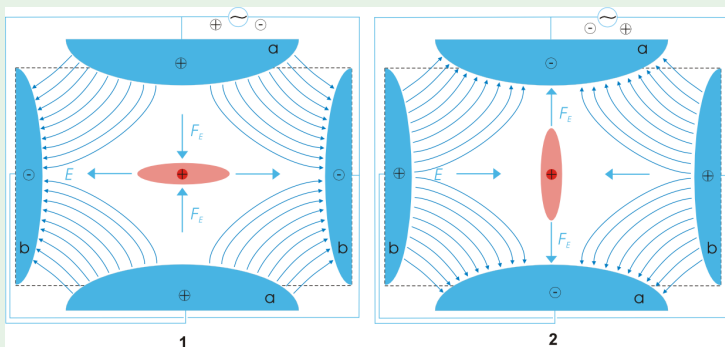


Für die lineare PAUL-Falle gilt:

- es gibt eine (z-) Achse für die das „Pseudopotential“ minimal ist
- radiale Schwingungsmoden ( $\omega_{x,y}$ ) existieren mit geringer Amplitude

# Quadrupol-Wechselfeld

Oszillierendes Wechselfeld erzeugt „Pseudopotential“. Querschnitt:

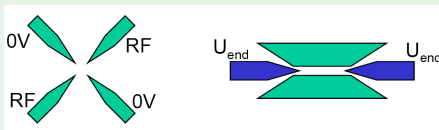


Für die lineare PAUL-Falle gilt:

- es gibt eine (z-) Achse für die das „Pseudopotential“ minimal ist
- radiale Schwingungsmoden ( $\omega_{x,y}$ ) existieren mit geringer Amplitude

# Statisches Potential in z-Richtung

Zwei Endkappen auf gleichem (hohem) Potential sperren Ionen ein:

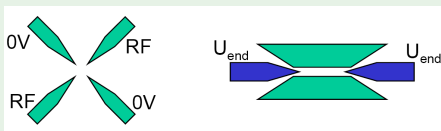


Verlauf des statischen Potentials:

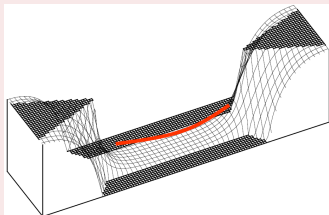
Harmonische Näherung liefert axiale Schwingungsmoden (mit Eigenfrequenzen  $\omega_z$ ).

# Statisches Potential in z-Richtung

Zwei Endkappen auf gleichem (hohem) Potential sperren Ionen ein:



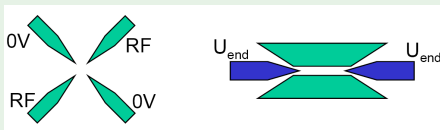
Verlauf des statischen Potentials:



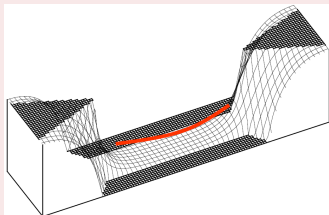
Harmonische Näherung liefert axiale Schwingungsmoden (mit Eigenfrequenzen  $\omega_z$ ).

# Statisches Potential in z-Richtung

Zwei Endkappen auf gleichem (hohem) Potential sperren Ionen ein:



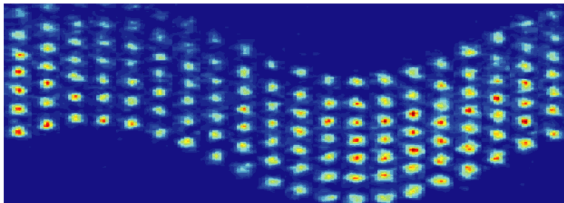
Verlauf des statischen Potentials:



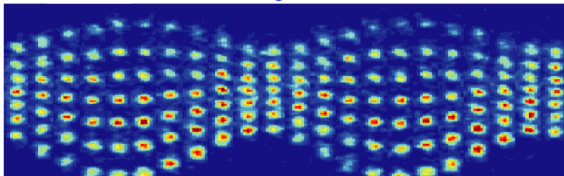
Harmonische Näherung liefert axiale Schwingungsmoden (mit Eigenfrequenzen  $\omega_z$ ).

# Ausgewählte axiale Schwingungsmoden

"center of mass" - Mode



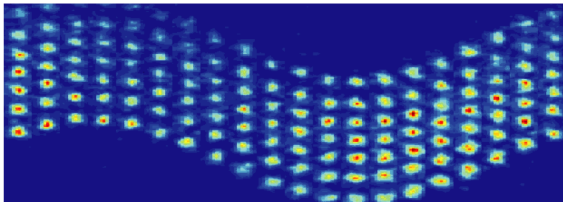
"breathing" - Mode



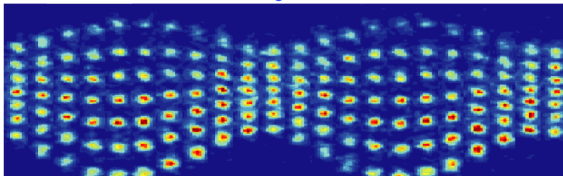
Idee: einzelnes COM-Phonon soll als „Bus“ dienen mit  $n \in \{0, 1\}$

# Ausgewählte axiale Schwingungsmoden

"center of mass" - Mode



"breathing" - Mode



Idee: einzelnes COM-Phonon soll als „Bus“ dienen mit  $n \in \{0, 1\}$



# Anforderungen an die Kühlung

## Radialmoden:

- in den radialen Moden muss so wenig Energie wie möglich stecken (Dekohärenz minimieren!)
- $\Rightarrow$  **Dopplerkühlung** (mit Lasern) ermöglicht Impulsminimierung von Atomen und sichere Kühlung auf unter  $1\text{ K}$

## Axialmoden:

- die „Busmode“ soll nur im Grundzustand  $n = 0$  oder  $n = 1$  vorliegen
- das System muss also durch maximale Kühlung auf  $n = 0$  initialisiert werden können
- $\Rightarrow$  **Seitenbandkühlung** (mit Lasern) kann dazu verwendet werden,  $n$  sukzessive auf 0 zu erniedrigen.

# Anforderungen an die Kühlung

## Radialmoden:

- in den radialen Moden muss so wenig Energie wie möglich stecken (Dekohärenz minimieren!)
- $\Rightarrow$  **Dopplerkühlung** (mit Lasern) ermöglicht Impulsminimierung von Atomen und sichere Kühlung auf unter  $1\text{ K}$

## Axialmoden:

- die „Busmode“ soll nur im Grundzustand  $n = 0$  oder  $n = 1$  vorliegen
- das System muss also durch maximale Kühlung auf  $n = 0$  initialisiert werden können
- $\Rightarrow$  **Seitenbandkühlung** (mit Lasern) kann dazu verwendet werden,  $n$  sukzessive auf 0 zu erniedrigen.

# Anforderungen an die Kühlung

## Radialmoden:

- in den radialen Moden muss so wenig Energie wie möglich stecken (Dekohärenz minimieren!)
- $\Rightarrow$  **Dopplerkühlung** (mit Lasern) ermöglicht Impulsminimierung von Atomen und sichere Kühlung auf unter  $1\text{ K}$

## Axialmoden:

- die „Busmode“ soll nur im Grundzustand  $n = 0$  oder  $n = 1$  vorliegen
- das System muss also durch maximale Kühlung auf  $n = 0$  initialisiert werden können
- $\Rightarrow$  **Seitenbandkühlung** (mit Lasern) kann dazu verwendet werden,  $n$  sukzessive auf 0 zu erniedrigen.

# Anforderungen an die Kühlung

## Radialmoden:

- in den radialen Moden muss so wenig Energie wie möglich stecken (Dekohärenz minimieren!)
- $\Rightarrow$  **Dopplerkühlung** (mit Lasern) ermöglicht Impulsminimierung von Atomen und sichere Kühlung auf unter  $1\text{ K}$

## Axialmoden:

- die „Busmode“ soll nur im Grundzustand  $n = 0$  oder  $n = 1$  vorliegen
- das System muss also durch maximale Kühlung auf  $n = 0$  initialisiert werden können
- $\Rightarrow$  **Seitenbandkühlung** (mit Lasern) kann dazu verwendet werden,  $n$  sukzessive auf 0 zu erniedrigen.

# Anforderungen an die Kühlung

## Radialmoden:

- in den radialen Moden muss so wenig Energie wie möglich stecken (Dekohärenz minimieren!)
- $\Rightarrow$  **Dopplerkühlung** (mit Lasern) ermöglicht Impulsminimierung von Atomen und sichere Kühlung auf unter  $1\text{ K}$

## Axialmoden:

- die „Busmode“ soll nur im Grundzustand  $n = 0$  oder  $n = 1$  vorliegen
- das System muss also durch maximale Kühlung auf  $n = 0$  initialisiert werden können
- $\Rightarrow$  **Seitenbandkühlung** (mit Lasern) kann dazu verwendet werden,  $n$  sukzessive auf 0 zu erniedrigen.

# Anforderungen an die Kühlung

## Radialmoden:

- in den radialen Moden muss so wenig Energie wie möglich stecken (Dekohärenz minimieren!)
- $\Rightarrow$  **Dopplerkühlung** (mit Lasern) ermöglicht Impulsminimierung von Atomen und sichere Kühlung auf unter  $1\text{ K}$

## Axialmoden:

- die „Busmode“ soll nur im Grundzustand  $n = 0$  oder  $n = 1$  vorliegen
- das System muss also durch maximale Kühlung auf  $n = 0$  initialisiert werden können
- $\Rightarrow$  **Seitenbandkühlung** (mit Lasern) kann dazu verwendet werden,  $n$  sukzessive auf 0 zu erniedrigen.

# Anforderungen an die Kühlung

## Radialmoden:

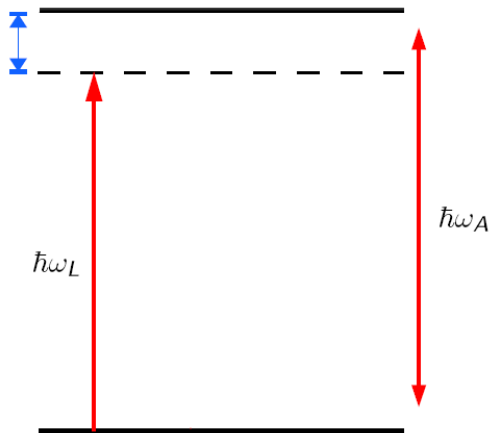
- in den radialen Moden muss so wenig Energie wie möglich stecken (Dekohärenz minimieren!)
- $\Rightarrow$  **Dopplerkühlung** (mit Lasern) ermöglicht Impulsminimierung von Atomen und sichere Kühlung auf unter  $1\text{ K}$

## Axialmoden:

- die „Busmode“ soll nur im Grundzustand  $n = 0$  oder  $n = 1$  vorliegen
- das System muss also durch maximale Kühlung auf  $n = 0$  initialisiert werden können
- $\Rightarrow$  **Seitenbandkühlung** (mit Lasern) kann dazu verwendet werden,  $n$  sukzessive auf 0 zu erniedrigen.

# Dopplerkühlung

Ein Laserstrahl wird leicht rotverschoben bezüglich eines ausgewählten Übergangs auf ein Atom eingestrahlt:





# Dopplerkühlung

- Absorption nur, wenn Atombewegung in Richtung der einfallenden Photonen
- bei spontaner Emission wird dann Energie aus der Bewegung genommen
- Impulsbetrachtung: gerichteter Impulsübertrag bei Anregung, isotrope Verteilung bei spontaner Emission  $\Rightarrow$  effektive Impulsreduzierung gegen Strahlrichtung

# Dopplerkühlung

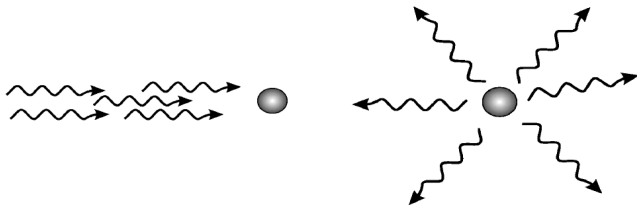
- Absorption nur, wenn Atombewegung in Richtung der einfallenden Photonen
- bei spontaner Emission wird dann Energie aus der Bewegung genommen
- Impulsbetrachtung: gerichteter Impulsübertrag bei Anregung, isotrope Verteilung bei spontaner Emission  $\Rightarrow$  effektive Impulsreduzierung gegen Strahlrichtung

# Dopplerkühlung

- Absorption nur, wenn Atombewegung in Richtung der einfallenden Photonen
- bei spontaner Emission wird dann Energie aus der Bewegung genommen
- Impulsbetrachtung: gerichteter Impulsübertrag bei Anregung, isotrope Verteilung bei spontaner Emission  $\Rightarrow$  effektive Impulsreduzierung gegen Strahlrichtung

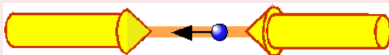
# Dopplerkühlung

- Absorption nur, wenn Atombewegung in Richtung der einfallenden Photonen
- bei spontaner Emission wird dann Energie aus der Bewegung genommen
- Impulsbetrachtung: gerichteter Impulsübertrag bei Anregung, isotrope Verteilung bei spontaner Emission  $\Rightarrow$  effektive Impulsreduzierung gegen Strahlrichtung



# Dopplerkühlung

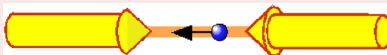
Durch zwei gegeneinanderlaufende Strahlen...



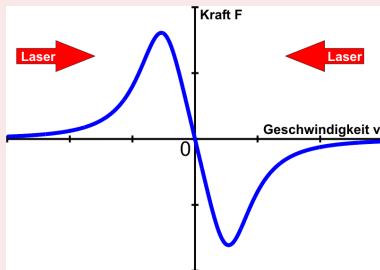
...ergibt sich die Fixierung eines Atoms in einer Dimension:

# Dopplerkühlung

Durch zwei gegeneinanderlaufende Strahlen...



...ergibt sich die Fixierung eines Atoms in einer Dimension:



# Dopplerkühlung

## Doppler-Limit:

- der Kühlprozess relaxiert in sein Gleichgewicht
- die tiefste erreichbare Temperatur heißt „Doppler-Limit“

## Größenordnung:

- Limit  $T_{DL}$  hängt von der Zerfallsrate  $\gamma$  (Linienbreite) des Atomübergangs ab:

$$T_{DL} = \frac{h\gamma}{2k_B}$$

- $O(100\mu K)$

Die  $x, y$ -Schwingungen können damit ausreichend stark gedämpft werden!

# Dopplerkühlung

## Doppler-Limit:

- der Kühlprozess relaxiert in sein Gleichgewicht
- die tiefste erreichbare Temperatur heißt „Doppler-Limit“

## Größenordnung:

- Limit  $T_{DL}$  hängt von der Zerfallsrate  $\gamma$  (Linienbreite) des Atomübergangs ab:

$$T_{DL} = \frac{h\gamma}{2k_B}$$

- $O(100\mu K)$

Die  $x, y$ -Schwingungen können damit ausreichend stark gedämpft werden!



# Dopplerkühlung

## Doppler-Limit:

- der Kühlprozess relaxiert in sein Gleichgewicht
- die tiefste erreichbare Temperatur heißt „Doppler-Limit“

## Größenordnung:

- Limit  $T_{DL}$  hängt von der Zerfallsrate  $\gamma$  (Linienbreite) des Atomübergangs ab:

$$T_{DL} = \frac{h\gamma}{2k_B}$$

- $O(100\mu K)$

Die  $x, y$ -Schwingungen können damit ausreichend stark gedämpft werden!

# Dopplerkühlung

## Doppler-Limit:

- der Kühlprozess relaxiert in sein Gleichgewicht
- die tiefste erreichbare Temperatur heißt „Doppler-Limit“

## Größenordnung:

- Limit  $T_{DL}$  hängt von der Zerfallsrate  $\gamma$  (Linienbreite) des Atomübergangs ab:

$$T_{DL} = \frac{\hbar\gamma}{2k_B}$$

- $O(100\mu K)$

Die  $x, y$ -Schwingungen können damit ausreichend stark gedämpft werden!

# Dopplerkühlung

## Doppler-Limit:

- der Kühlprozess relaxiert in sein Gleichgewicht
- die tiefste erreichbare Temperatur heißt „Doppler-Limit“

## Größenordnung:

- Limit  $T_{DL}$  hängt von der Zerfallsrate  $\gamma$  (Linienbreite) des Atomübergangs ab:

$$T_{DL} = \frac{\hbar\gamma}{2k_B}$$

- $O(100\mu K)$

Die  $x, y$ -Schwingungen können damit ausreichend stark gedämpft werden!

# Dopplerkühlung

## Doppler-Limit:

- der Kühlprozess relaxiert in sein Gleichgewicht
- die tiefste erreichbare Temperatur heißt „Doppler-Limit“

## Größenordnung:

- Limit  $T_{DL}$  hängt von der Zerfallsrate  $\gamma$  (Linienbreite) des Atomübergangs ab:

$$T_{DL} = \frac{\hbar\gamma}{2k_B}$$

- $O(100\mu K)$

Die  $x, y$ -Schwingungen können damit ausreichend stark gedämpft werden!

# Dopplerkühlung

## Doppler-Limit:

- der Kühlprozess relaxiert in sein Gleichgewicht
- die tiefste erreichbare Temperatur heißt „Doppler-Limit“

## Größenordnung:

- Limit  $T_{DL}$  hängt von der Zerfallsrate  $\gamma$  (Linienbreite) des Atomübergangs ab:

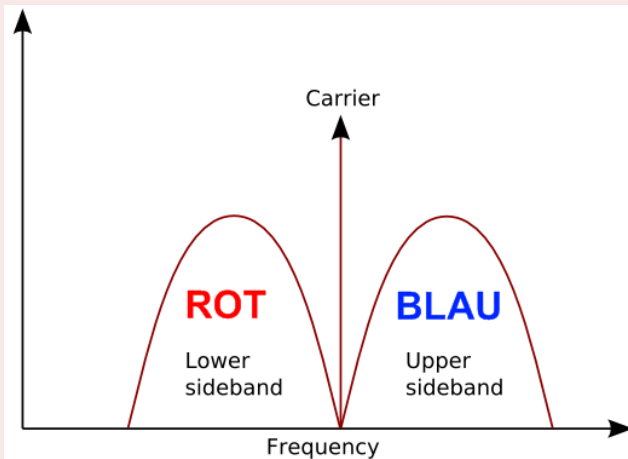
$$T_{DL} = \frac{\hbar\gamma}{2k_B}$$

- $O(100\mu K)$

Die  $x, y$ -Schwingungen können damit ausreichend stark gedämpft werden!

# Seitenbandkühlung

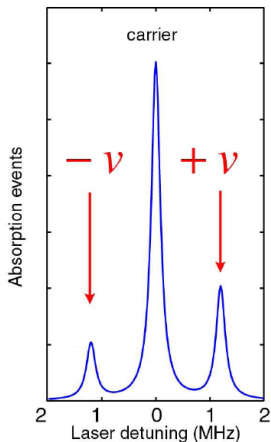
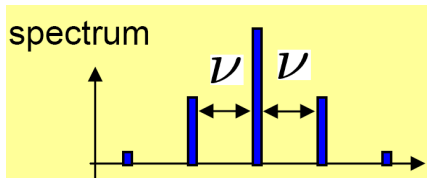
Begriffsklärung:



# Seitenbandkühlung

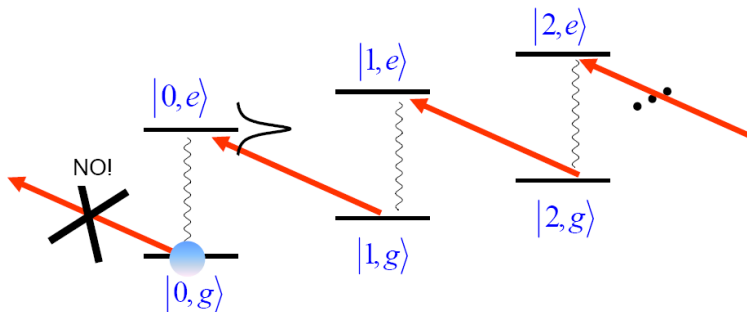
schwingendes Ion:

gleichzeitige Anregung von elektr. und Schwingungsübergang



# Seitenbandkühlung

Optisches Pumpen in den Schwingungsgrundzustand  $n = 0$ :



Nomenklatur:

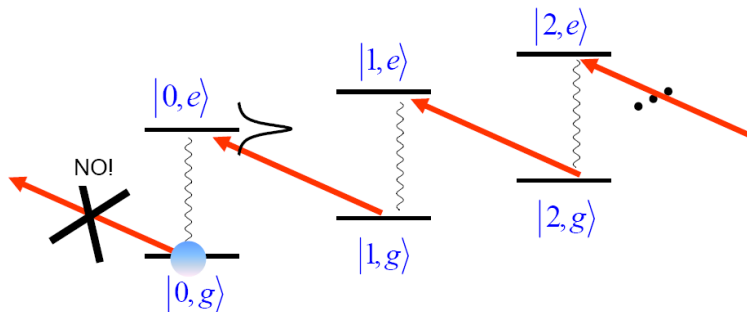
Phonon:  $|0\rangle, |1\rangle \hat{=} |n=0\rangle, |n=1\rangle$

elektr. Zustand:  $|g\rangle, |e\rangle \hat{=} \text{groundstate, excited}$



# Seitenbandkühlung

Optisches Pumpen in den Schwingungsgrundzustand  $n = 0$ :



Nomenklatur:

Phonon:  $|0\rangle, |1\rangle \hat{=} |n = 0\rangle, |n = 1\rangle$

elektr. Zustand:  $|g\rangle, |e\rangle \hat{=} \mathbf{g}$ roundstate,  $\mathbf{e}$ xcited

# Übersicht

- 1 Teil I - Grundlagen
  - Motivation Quantencomputer
  - Logische Operationen
  - Anforderungen bei experimenteller Realisierung
  - Die Idee von CIRAC und ZOLLER
  - grundlegende Komponenten
- 2 Teil II - Operationen auf dem System
  - Manipulation des Systems
  - Mathematische Beschreibung
  - CNOT-Gatter
- 3 Teil III - Experimente
  - Realisierung des cNOT-Gatters
  - Untersuchung von verschränkten Zuständen
  - Ausblick (Ionenfalle im Mikrochip)

# Rabi-Ozillationen

Periodische Störung eines 2-Niveau-Systems

$$\Psi = c_g|g\rangle + c_e|e\rangle$$

klassisch: Absorption und stimulierte Emission

QM: Oszillation der Besetzungswahrscheinlichkeiten

Resonanzfrequenz

Rabi-Frequenz

Störleistung

Verstärkung des

Systems

# Rabi-Oszillationen

Periodische Störung eines 2-Niveau-Systems

$$\Psi = c_g|g\rangle + c_e|e\rangle$$

**klassisch:** Absorption und stimulierte Emission

QM: Oszillation der Besetzungswahrscheinlichkeiten

# Rabi-Oszillationen

Periodische Störung eines 2-Niveau-Systems

$$\Psi = c_g|g\rangle + c_e|e\rangle$$

klassisch: Absorption und stimulierte Emission

QM: Oszillation der Besetzungswahrscheinlichkeiten

# Rabi-Oszillationen

Periodische Störung eines 2-Niveau-Systems

$$\Psi = c_g|g\rangle + c_e|e\rangle$$

**klassisch:** Absorption und stimulierte Emission

**QM:** Oszillation der Besetzungswahrscheinlichkeiten

$\omega_L$ : Laser-Frequenz  
( $E = E_0 \cos \omega t$ )

$\omega$ : elektronischer  
Übergang  $\omega = \omega_e - \omega_g$

$\chi$ : resonante  
Rabi-Frequenz  
 $\chi = \mu E_0 / \hbar$

$\Delta$ : Verstimmung des  
Lasers  $\Delta = \omega_L - \omega$

$\Omega$ : Rabi-Frequenz  
 $\Omega = \sqrt{\chi^2 + \Delta^2}$

# Rabi-Oszillationen

Periodische Störung eines 2-Niveau-Systems

$$\Psi = c_g|g\rangle + c_e|e\rangle$$

**klassisch:** Absorption und stimulierte Emission

**QM:** Oszillation der Besetzungswahrscheinlichkeiten

$$H = H_0 + H_1 \cos \omega t$$

$\omega_L$ : Laser-Frequenz  
( $E = E_0 \cos \omega t$ )

$\omega$ : elektronischer  
Übergang  $\omega = \omega_e - \omega_g$

$\chi$ : resonante  
Rabi-Frequenz  
 $\chi = \mu E_0 / \hbar$

$\Delta$ : Verstimmung des  
Lasers  $\Delta = \omega_L - \omega$

$\Omega$ : Rabi-Frequenz  
 $\Omega = \sqrt{\chi^2 + \Delta^2}$

# Rabi-Oszillationen

Periodische Störung eines 2-Niveau-Systems

$$\Psi = c_g|g\rangle + c_e|e\rangle$$

**klassisch:** Absorption und stimulierte Emission

**QM:** Oszillation der Besetzungswahrscheinlichkeiten

Rabi-Oszillation

$$c_e = \frac{\chi}{\Omega} \sin \frac{\Omega}{2} t$$

$\omega_L$ : Laser-Frequenz  
( $E = E_0 \cos \omega t$ )

$\omega$ : elektronischer  
Übergang  $\omega = \omega_e - \omega_g$

$\chi$ : resonante  
Rabi-Frequenz  
 $\chi = \mu E_0 / \hbar$

$\Delta$ : Verstimmung des  
Lasers  $\Delta = \omega_L - \omega$

$\Omega$ : Rabi-Frequenz  
 $\Omega = \sqrt{\chi^2 + \Delta^2}$



# Rabi-Oszillationen

Periodische Störung eines 2-Niveau-Systems

$$\Psi = c_g|g\rangle + c_e|e\rangle$$

**klassisch:** Absorption und stimulierte Emission

**QM:** Oszillation der Besetzungswahrscheinlichkeiten

Rabi-Oszillation

$$c_e = \frac{\chi}{\Omega} \sin \frac{\Omega}{2} t$$

$\omega_L$ : Laser-Frequenz  
( $E = E_0 \cos \omega t$ )

$\omega$ : elektronischer  
Übergang  $\omega = \omega_e - \omega_g$

$\chi$ : resonante  
Rabi-Frequenz  
 $\chi = \mu E_0 / \hbar$

$\Delta$ : Verstimmung des  
Lasers  $\Delta = \omega_L - \omega$

$\Omega$ : Rabi-Frequenz  
 $\Omega = \sqrt{\chi^2 + \Delta^2}$

# Rabi-Oszillationen

Periodische Störung eines 2-Niveau-Systems

$$\Psi = c_g|g\rangle + c_e|e\rangle$$

**klassisch:** Absorption und stimulierte Emission

**QM:** Oszillation der Besetzungswahrscheinlichkeiten

## Rabi-Oszillation

$$c_e = \frac{\chi}{\Omega} \sin \frac{\Omega}{2} t$$

$\omega_L$ : Laser-Frequenz  
( $E = E_0 \cos \omega t$ )

$\omega$ : elektronischer  
Übergang  $\omega = \omega_e - \omega_g$

$\chi$ : resonante  
Rabi-Frequenz

$$\chi = \mu E_0 / \hbar$$

$\Delta$ : Verstimmung des  
Lasers  $\Delta = \omega_L - \omega$

$\Omega$ : Rabi-Frequenz  
 $\Omega = \sqrt{\chi^2 + \Delta^2}$

# Rabi-Oszillationen

Periodische Störung eines 2-Niveau-Systems

$$\Psi = c_g|g\rangle + c_e|e\rangle$$

klassisch: Absorption und stimulierte Emission

QM: Oszillation der Besetzungswahrscheinlichkeiten

## Rabi-Oszillation

$$c_e = \frac{\chi}{\Omega} \sin \frac{\Omega}{2} t$$

$\omega_L$ : Laser-Frequenz  
( $E = E_0 \cos \omega t$ )

$\omega$ : elektronischer  
Übergang  $\omega = \omega_e - \omega_g$

$\chi$ : resonante  
Rabi-Frequenz

$$\chi = \mu E_0 / \hbar$$

$\Delta$ : Verstimmung des  
Lasers  $\Delta = \omega_L - \omega$

$\Omega$ : Rabi-Frequenz  
 $\Omega = \sqrt{\chi^2 + \Delta^2}$

# Rabi-Oszillationen

Periodische Störung eines 2-Niveau-Systems

$$\Psi = c_g|g\rangle + c_e|e\rangle$$

klassisch: Absorption und stimulierte Emission

QM: Oszillation der Besetzungswahrscheinlichkeiten

## Rabi-Oszillation

$$c_e = \frac{\chi}{\Omega} \sin \frac{\Omega}{2} t$$

$\omega_L$ : Laser-Frequenz  
( $E = E_0 \cos \omega t$ )

$\omega$ : elektronischer  
Übergang  $\omega = \omega_e - \omega_g$

$\chi$ : resonante  
Rabi-Frequenz

$$\chi = \mu E_0 / \hbar$$

$\Delta$ : Verstimmung des  
Lasers  $\Delta = \omega_L - \omega$

$\Omega$ : Rabi-Frequenz  
 $\Omega = \sqrt{\chi^2 + \Delta^2}$

# Rabi-Oszillationen

Periodische Störung eines 2-Niveau-Systems

$$\Psi = c_g|g\rangle + c_e|e\rangle$$

klassisch: Absorption und stimulierte Emission

QM: Oszillation der Besetzungswahrscheinlichkeiten

## Rabi-Oszillation

$$c_e = \frac{\chi}{\Omega} \sin \frac{\Omega}{2} t$$

$\omega_L$ : Laser-Frequenz  
( $E = E_0 \cos \omega t$ )

$\omega$ : elektronischer  
Übergang  $\omega = \omega_e - \omega_g$

$\chi$ : resonante  
Rabi-Frequenz

$$\chi = \mu E_0 / \hbar$$

$\Delta$ : Verstimmung des  
Lasers  $\Delta = \omega_L - \omega$

$\Omega$ : Rabi-Frequenz  
 $\Omega = \sqrt{\chi^2 + \Delta^2}$

# Rabi-Oszillationen

Periodische Störung eines 2-Niveau-Systems

$$\Psi = c_g |g\rangle + c_e |e\rangle$$

klassisch: Absorption und stimulierte Emission

QM: Oszillation der Besetzungswahrscheinlichkeiten

## Rabi-Oszillation

$$c_e = \frac{\chi}{\Omega} \sin \frac{\Omega}{2} t$$

$\omega_L$ : Laser-Frequenz  
( $E = E_0 \cos \omega t$ )

$\omega$ : elektronischer  
Übergang  $\omega = \omega_e - \omega_g$

$\chi$ : resonante  
Rabi-Frequenz

$$\chi = \mu E_0 / \hbar$$

$\Delta$ : Verstimmung des  
Lasers  $\Delta = \omega_L - \omega$

$\Omega$ : Rabi-Frequenz  
 $\Omega = \sqrt{\chi^2 + \Delta^2}$

# Rabi-Oszillationen

Periodische Störung eines 2-Niveau-Systems

$$\Psi = c_g|g\rangle + c_e|e\rangle$$

klassisch: Absorption und stimulierte Emission

QM: Oszillation der Besetzungswahrscheinlichkeiten

## Rabi-Oszillation

$$c_e = \frac{\chi}{\Omega} \sin \frac{\Omega}{2} t$$

$\omega_L$ : Laser-Frequenz  
( $E = E_0 \cos \omega t$ )

$\omega$ : elektronischer  
Übergang  $\omega = \omega_e - \omega_g$

$\chi$ : resonante  
Rabi-Frequenz

$$\chi = \mu E_0 / \hbar$$

$\Delta$ : Verstimmung des  
Lasers  $\Delta = \omega_L - \omega$

$\Omega$ : Rabi-Frequenz  
 $\Omega = \sqrt{\chi^2 + \Delta^2}$

# Rabi-Oszillationen

Periodische Störung eines 2-Niveau-Systems

$$\Psi = c_g|g\rangle + c_e|e\rangle$$

klassisch: Absorption und stimulierte Emission

QM: Oszillation der Besetzungswahrscheinlichkeiten

## Rabi-Oszillation

$$c_e = \frac{\chi}{\Omega} \sin \frac{\Omega}{2} t$$

$\omega_L$ : Laser-Frequenz  
( $E = E_0 \cos \omega t$ )

$\omega$ : elektronischer  
Übergang  $\omega = \omega_e - \omega_g$

$\chi$ : resonante  
Rabi-Frequenz

$$\chi = \mu E_0 / \hbar$$

$\Delta$ : Verstimmung des  
Lasers  $\Delta = \omega_L - \omega$

$\Omega$ : Rabi-Frequenz  
 $\Omega = \sqrt{\chi^2 + \Delta^2}$



# Rabi-Oszillationen

Periodische Störung eines 2-Niveau-Systems

$$\Psi = c_g|g\rangle + c_e|e\rangle$$

klassisch: Absorption und stimulierte Emission

QM: Oszillation der Besetzungswahrscheinlichkeiten

## Rabi-Oszillation

$$c_e = \frac{\chi}{\Omega} \sin \frac{\Omega}{2} t$$

$\omega_L$ : Laser-Frequenz  
( $E = E_0 \cos \omega t$ )

$\omega$ : elektronischer  
Übergang  $\omega = \omega_e - \omega_g$

$\chi$ : resonante  
Rabi-Frequenz

$$\chi = \mu E_0 / \hbar$$

$\Delta$ : Verstimmung des  
Lasers  $\Delta = \omega_L - \omega$

$\Omega$ : Rabi-Frequenz  
 $\Omega = \sqrt{\chi^2 + \Delta^2}$

# Rabi-Oszillationen

Periodische Störung eines 2-Niveau-Systems

$$\Psi = c_g|g\rangle + c_e|e\rangle$$

klassisch: Absorption und stimulierte Emission

QM: Oszillation der Besetzungswahrscheinlichkeiten

## Rabi-Oszillation

$$c_e = \frac{\chi}{\Omega} \sin \frac{\Omega}{2} t$$

$\omega_L$ : Laser-Frequenz  
( $E = E_0 \cos \omega t$ )

$\omega$ : elektronischer  
Übergang  $\omega = \omega_e - \omega_g$

$\chi$ : resonante  
Rabi-Frequenz

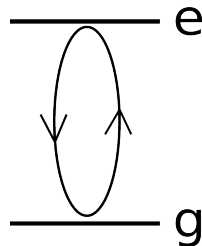
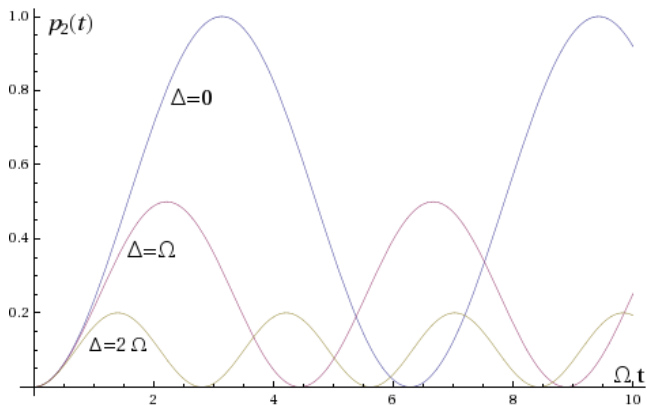
$$\chi = \mu E_0 / \hbar$$

$\Delta$ : Verstimmung des  
Lasers  $\Delta = \omega_L - \omega$

$\Omega$ : Rabi-Frequenz  
$$\Omega = \sqrt{\chi^2 + \Delta^2}$$

## Rabi-Oszillationen

$$p_2(t) = c_e^2(t) = \frac{\chi^2}{\chi^2 + \Delta^2} \sin^2 \left( \frac{\sqrt{\chi^2 + \Delta^2}}{2} t \right) = \frac{\chi^2}{\Omega^2} \sin^2 \left( \frac{\Omega}{2} t \right)$$

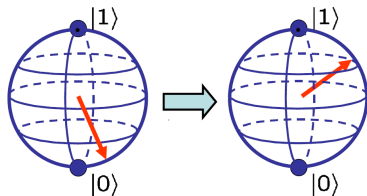


## Rotationen auf der Blochkugel

- Die Wechselwirkung mit dem Laser (über die Rabi-Oszillationen) dreht den Zustandsvektor auf der Blochkugel.
- Der Drehwinkel wird durch die Pulsdauer  $t$  (und die Rabi-Frequenz  $\Omega$ ) bestimmt.
- Die Drehachse wird durch die Phasenverschiebung  $\phi$  zwischen Laser und Ion festgelegt.

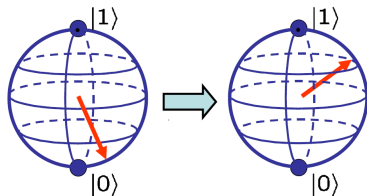
## Rotationen auf der Blochkugel

- Die Wechselwirkung mit dem Laser (über die Rabi-Oszillationen) dreht den Zustandsvektor auf der Blochkugel.
- Der Drehwinkel wird durch die Pulsdauer  $t$  (und die Rabi-Frequenz  $\Omega$ ) bestimmt.
- Die Drehachse wird durch die Phasenverschiebung  $\phi$  zwischen Laser und Ion festgelegt.



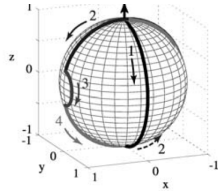
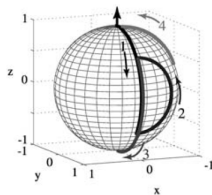
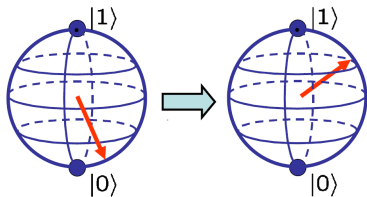
## Rotationen auf der Blochkugel

- Die Wechselwirkung mit dem Laser (über die Rabi-Oszillationen) dreht den Zustandsvektor auf der Blochkugel.
- Der Drehwinkel wird durch die Pulsdauer  $t$  (und die Rabi-Frequenz  $\Omega$ ) bestimmt.
- Die Drehachse wird durch die Phasenverschiebung  $\phi$  zwischen Laser und Ion festgelegt.



# Rotationen auf der Blochkugel

- Die Wechselwirkung mit dem Laser (über die Rabi-Oszillationen) dreht den Zustandsvektor auf der Blochkugel.
- Der Drehwinkel wird durch die Pulsdauer  $t$  (und die Rabi-Frequenz  $\Omega$ ) bestimmt.
- Die Drehachse wird durch die Phasenverschiebung  $\phi$  zwischen Laser und Ion festgelegt.



# Übersicht

- 1 Teil I - Grundlagen
  - Motivation Quantencomputer
  - Logische Operationen
  - Anforderungen bei experimenteller Realisierung
  - Die Idee von CIRAC und ZOLLER
  - grundlegende Komponenten
- 2 Teil II - Operationen auf dem System
  - Manipulation des Systems
  - **Mathematische Beschreibung**
  - CNOT-Gatter
- 3 Teil III - Experimente
  - Realisierung des cNOT-Gatters
  - Untersuchung von verschränkten Zuständen
  - Ausblick (Ionenfalle im Mikrochip)



# Laser-Ion-Phonon-Interaktion im Wechselwirkungsbild

- Beschreibung der Störung durch Hamiltonoperator  $\hat{H}_{las}$ :

$$\hat{H} = \hat{H}_0 + \hat{H}_{las}$$

- Wähle Eigensystem von  $\hat{H}_0$  als Basis
- Zeitentwicklung der Zustände  $|\Psi'\rangle = e^{-i\hat{H}_0 t}|\Psi\rangle$ :

$$\hat{U} = e^{i\hat{H}_{las} t}$$

# Laser-Ion-Phonon-Interaktion im Wechselwirkungsbild

- Beschreibung der Störung durch Hamiltonoperator  $\hat{H}_{las}$ :

$$\hat{H} = \hat{H}_0 + \hat{H}_{las}$$

- Wähle Eigensystem von  $\hat{H}_0$  als Basis

- Zeitentwicklung der Zustände  $|\Psi'\rangle = e^{-i\hat{H}_0 t}|\Psi\rangle$ :

$$\hat{U} = e^{i\hat{H}_{las} t}$$

# Laser-Ion-Phonon-Interaktion im Wechselwirkungsbild

- Beschreibung der Störung durch Hamiltonoperator  $\hat{H}_{las}$ :

$$\hat{H} = \hat{H}_0 + \hat{H}_{las}$$

- Wähle Eigensystem von  $\hat{H}_0$  als Basis
- Zeitentwicklung der Zustände  $|\Psi'\rangle = e^{-i\hat{H}_0 t}|\Psi\rangle$ :

$$\hat{U} = e^{i\hat{H}_{las} t}$$

# Näherungen

- **Lamb-Dicke-Limit:**

Rückstoßenergie des Photons  $\ll$  Schwingungsenergie des Phonons.  
Elektronische Übergänge mit  $\Delta = 0$  stören die Phononen nicht!

$$\text{Lamb-Dicke Parameter } \eta = \sqrt{\frac{\omega_{\text{recoil}}}{\omega_{\text{trap}}}} \ll 1$$

- **Weak excitation limit:**

Für schwache Laserintensitäten wird nur eine Schwingungsmode angeregt!

# Näherungen

- **Lamb-Dicke-Limit:**

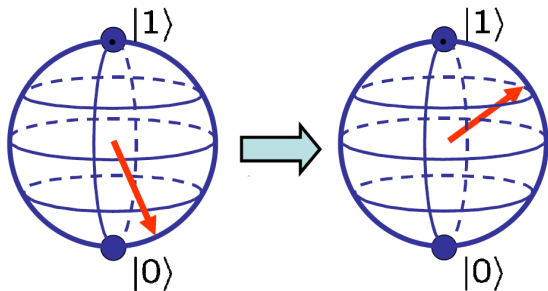
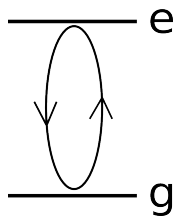
Rückstoßenergie des Photons  $\ll$  Schwingungsenergie des Phonons.  
Elektronische Übergänge mit  $\Delta = 0$  stören die Phononen nicht!

$$\text{Lamb-Dicke Parameter } \eta = \sqrt{\frac{\omega_{\text{recoil}}}{\omega_{\text{trap}}}} \ll 1$$

- **Weak excitation limit:**

Für schwache Laserintensitäten wird nur eine Schwingungsmode angeregt!

# Rotation eines einzelnen Qbit



## Rotation eines einzelnen Qbit

- Resonante Anregung eines Ions ( $\Delta = 0$ ):

$$\hat{H}_{rot}^n = \frac{\Omega_{rot}}{2} (\sigma_n^+ e^{-i\Phi} + \sigma_n^- e^{i\Phi}) \quad \text{wähle } t = \frac{k\pi}{\Omega_{rot}}$$

- Zeitentwicklung durch  $k\pi$ -Puls:

$$|g\rangle_n \rightarrow \cos\left(\frac{k\pi}{2}\right) |g\rangle_n - ie^{+i\Phi} \sin\left(\frac{k\pi}{2}\right) |e\rangle_n$$

$$|e\rangle_n \rightarrow \cos\left(\frac{k\pi}{2}\right) |e\rangle_n - ie^{-i\Phi} \sin\left(\frac{k\pi}{2}\right) |g\rangle_n$$

- Beispiel NOT-Gate ( $k = 1, \Phi = \frac{\pi}{2}$ ):

$$|g\rangle_n \rightarrow |e\rangle_n$$

$$|e\rangle_n \rightarrow -|g\rangle_n$$

## Rotation eines einzelnen Qbit

- Resonante Anregung eines Ions ( $\Delta = 0$ ):

$$\hat{H}_{rot}^n = \frac{\Omega_{rot}}{2} (\sigma_n^+ e^{-i\Phi} + \sigma_n^- e^{i\Phi}) \quad \text{wähle } t = \frac{k\pi}{\Omega_{rot}}$$

- Zeitentwicklung durch  $k\pi$ -Puls:

$$|g\rangle_n \rightarrow \cos\left(\frac{k\pi}{2}\right) |g\rangle_n - ie^{+i\Phi} \sin\left(\frac{k\pi}{2}\right) |e\rangle_n$$

$$|e\rangle_n \rightarrow \cos\left(\frac{k\pi}{2}\right) |e\rangle_n - ie^{-i\Phi} \sin\left(\frac{k\pi}{2}\right) |g\rangle_n$$

- Beispiel NOT-Gate ( $k = 1, \Phi = \frac{\pi}{2}$ ):

$$|g\rangle_n \rightarrow |e\rangle_n$$

$$|e\rangle_n \rightarrow -|g\rangle_n$$



## Rotation eines einzelnen Qbit

- Resonante Anregung eines Ions ( $\Delta = 0$ ):

$$\hat{H}_{rot}^n = \frac{\Omega_{rot}}{2} (\sigma_n^+ e^{-i\Phi} + \sigma_n^- e^{i\Phi}) \quad \text{wähle } t = \frac{k\pi}{\Omega_{rot}}$$

- Zeitentwicklung durch  $k\pi$ -Puls:

$$|g\rangle_n \rightarrow \cos\left(\frac{k\pi}{2}\right) |g\rangle_n - ie^{+i\Phi} \sin\left(\frac{k\pi}{2}\right) |e\rangle_n$$

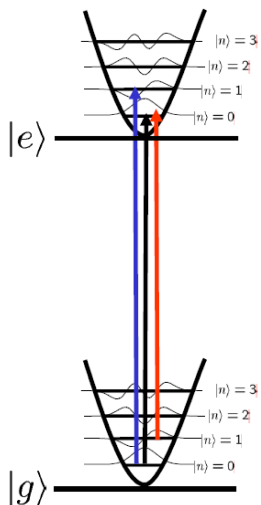
$$|e\rangle_n \rightarrow \cos\left(\frac{k\pi}{2}\right) |e\rangle_n - ie^{-i\Phi} \sin\left(\frac{k\pi}{2}\right) |g\rangle_n$$

- Beispiel NOT-Gate ( $k = 1, \Phi = \frac{\pi}{2}$ ):

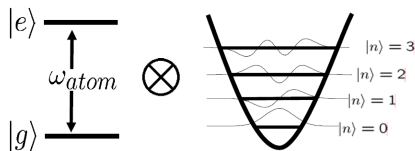
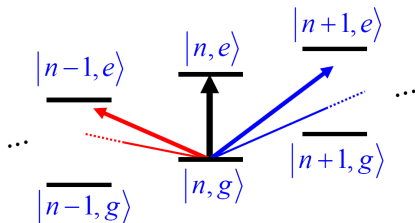
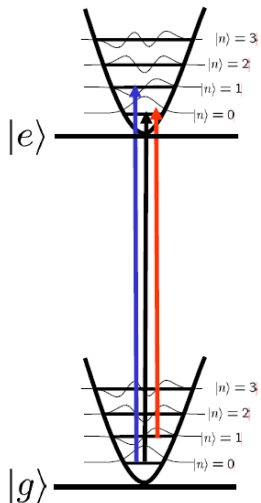
$$|g\rangle_n \rightarrow |e\rangle_n$$

$$|e\rangle_n \rightarrow -|g\rangle_n$$

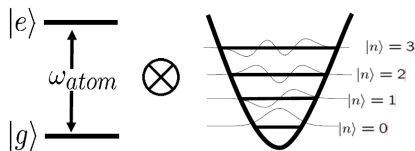
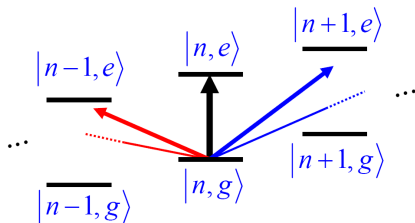
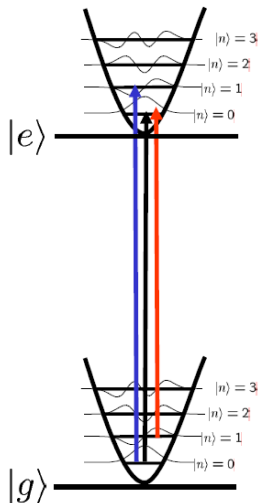
# Elektron-Schwingungs-Übergänge



# Elektron-Schwingungs-Übergänge



# Elektron-Schwingungs-Übergänge



# Elektron-Schwingungs-Übergänge

- Anregung eines Ions im Seitenband:

$$\hat{H}_{es}^n = \frac{\Omega_{es}}{2\sqrt{N}} \eta (a \sigma_n^+ e^{-i\Phi} + a^\dagger \sigma_n^- e^{i\Phi}) \quad \text{wähle } t = k\pi \left( \frac{\Omega_{es}}{\sqrt{N}} \eta \right)^{-1}$$

- Zeitentwicklung durch  $k\pi$ -Puls:

$$|g\rangle_n |1\rangle \rightarrow \cos\left(\frac{k\pi}{2}\right) |g\rangle_n |1\rangle - ie^{+i\Phi} \sin\left(\frac{k\pi}{2}\right) |e\rangle_n |0\rangle$$

$$|e\rangle_n |0\rangle \rightarrow \cos\left(\frac{k\pi}{2}\right) |e\rangle_n |0\rangle - ie^{-i\Phi} \sin\left(\frac{k\pi}{2}\right) |g\rangle_n |1\rangle$$

$$|g\rangle_n |0\rangle \rightarrow |g\rangle_n |0\rangle$$

# Elektron-Schwingungs-Übergänge

- Anregung eines Ions im Seitenband:

$$\hat{H}_{es}^n = \frac{\Omega_{es}}{2\sqrt{N}} \eta (a\sigma_n^+ e^{-i\Phi} + a^\dagger \sigma_n^- e^{i\Phi}) \quad \text{wähle } t = k\pi \left( \frac{\Omega_{es}}{\sqrt{N}} \eta \right)^{-1}$$

- Zeitentwicklung durch  $k\pi$ -Puls:

$$|g\rangle_n |1\rangle \rightarrow \cos\left(\frac{k\pi}{2}\right) |g\rangle_n |1\rangle - ie^{+i\Phi} \sin\left(\frac{k\pi}{2}\right) |e\rangle_n |0\rangle$$

$$|e\rangle_n |0\rangle \rightarrow \cos\left(\frac{k\pi}{2}\right) |e\rangle_n |0\rangle - ie^{-i\Phi} \sin\left(\frac{k\pi}{2}\right) |g\rangle_n |1\rangle$$

$$|g\rangle_n |0\rangle \rightarrow |g\rangle_n |0\rangle$$

# Übersicht

- 1 Teil I - Grundlagen
  - Motivation Quantencomputer
  - Logische Operationen
  - Anforderungen bei experimenteller Realisierung
  - Die Idee von CIRAC und ZOLLER
  - grundlegende Komponenten
- 2 Teil II - Operationen auf dem System
  - Manipulation des Systems
  - Mathematische Beschreibung
  - CNOT-Gatter
- 3 Teil III - Experimente
  - Realisierung des cNOT-Gatters
  - Untersuchung von verschränkten Zuständen
  - Ausblick (Ionenfalle im Mikrochip)

# Phasengatter

Phasenänderung des **target bits (t)**, wenn **control bit (c)** auf 1

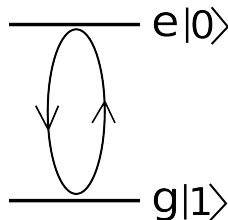
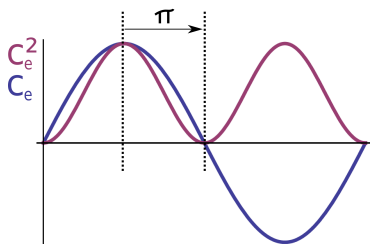
- ①  $\pi$ -Puls auf **c**: Kopie des control bit auf die Schwingungsmode  
( $\Phi = 0, k = \pi$ )
- ②  $2\pi$ -Puls auf **t**: Phasenänderung des target bit  
( $\Phi = 0, k = 2\pi$ )
- ③  $\pi$ -Puls auf **c**: Kopie der Schwingungsmode auf das control bit  
( $\Phi = 0, k = \pi$ )



# Phasengatter

Phasenänderung des **target bits (t)**, wenn **control bit (c)** auf 1

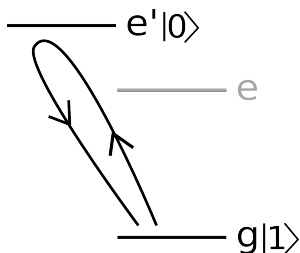
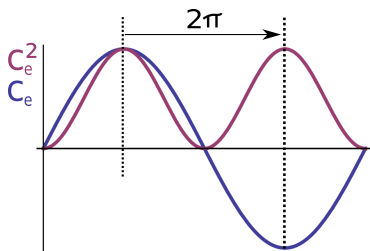
- 1  $\pi$ -Puls auf **c**: Kopie des control bit auf die Schwingungsmode ( $\Phi = 0, k = \pi$ )
- 2  $2\pi$ -Puls auf **t**: Phasenänderung des target bit ( $\Phi = 0, k = 2\pi$ )
- 3  $\pi$ -Puls auf **c**: Kopie der Schwingungsmode auf das control bit ( $\Phi = 0, k = \pi$ )



# Phasengatter

Phasenänderung des **target bits (t)**, wenn **control bit (c)** auf 1

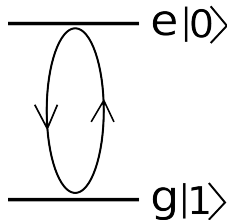
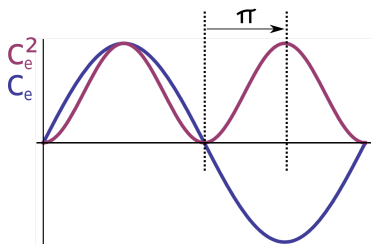
- ①  $\pi$ -Puls auf **c**: Kopie des control bit auf die Schwingungsmode ( $\Phi = 0, k = \pi$ )
- ②  $2\pi$ -Puls auf **t**: Phasenänderung des target bit ( $\Phi = 0, k = 2\pi$ )
- ③  $\pi$ -Puls auf **c**: Kopie der Schwingungsmode auf das control bit ( $\Phi = 0, k = \pi$ )



# Phasengatter

Phasenänderung des **target bits (t)**, wenn **control bit (c)** auf 1

- 1  $\pi$ -Puls auf **c**: Kopie des control bit auf die Schwingungsmode ( $\Phi = 0, k = \pi$ )
- 2  $2\pi$ -Puls auf **t**: Phasenänderung des target bit ( $\Phi = 0, k = 2\pi$ )
- 3  $\pi$ -Puls auf **c**: Kopie der Schwingungsmode auf das control bit ( $\Phi = 0, k = \pi$ )



# Phasengatter

Phasenänderung des **target bits (t)**, wenn **control bit (c)** auf 1

- ①  $\pi$ -Puls auf **c**: Kopie des control bit auf die Schwingungsmode  
( $\Phi = 0, k = \pi$ )
- ②  $2\pi$ -Puls auf **t**: Phasenänderung des target bit  
( $\Phi = 0, k = 2\pi$ )
- ③  $\pi$ -Puls auf **c**: Kopie der Schwingungsmode auf das control bit  
( $\Phi = 0, k = \pi$ )

	1		2		3	
$ g\rangle_c  g\rangle_t  0\rangle$	$\rightarrow$	$ g\rangle_c  g\rangle_t  0\rangle$	$\rightarrow$	$ g\rangle_c  g\rangle_t  0\rangle$	$\rightarrow$	$ g\rangle_c  g\rangle_t  0\rangle$
$ g\rangle_c  e\rangle_t  0\rangle$	$\rightarrow$	$ g\rangle_c  e\rangle_t  0\rangle$	$\rightarrow$	$ g\rangle_c  e\rangle_t  0\rangle$	$\rightarrow$	$ g\rangle_c  e\rangle_t  0\rangle$
$ e\rangle_c  g\rangle_t  0\rangle$	$\rightarrow$	$-i  g\rangle_c  g\rangle_t  1\rangle$	$\rightarrow$	$i  g\rangle_c  g\rangle_t  1\rangle$	$\rightarrow$	$ e\rangle_c  g\rangle_t  0\rangle$
$ e\rangle_c  e\rangle_t  0\rangle$	$\rightarrow$	$-i  g\rangle_c  e\rangle_t  1\rangle$	$\rightarrow$	$-i  g\rangle_c  e\rangle_t  1\rangle$	$\rightarrow$	$- e\rangle_c  e\rangle_t  0\rangle$

# Phasengatter

Betrachte:

$$|\pm\rangle = \frac{1}{\sqrt{2}}(|g\rangle \pm |e\rangle)$$

Phasengatter zusammengefasst:

$$|g\rangle_c |\pm\rangle_t \rightarrow |g\rangle_c |\pm\rangle_t$$

$$|e\rangle_c |\pm\rangle_t \rightarrow |g\rangle_c |\mp\rangle_t$$

# Komplettes CNOT-Gatter

Rotation  $\hat{U}_{rot}^c$  + Phasengatter  $\hat{U}_{pg}^t$

$$\hat{U}_{cnot} = \hat{U}_{rot,c}^{-1} \hat{U}_{pg,t} \hat{U}_{rot,c}$$

Fünf Minuten Pause!